

تأثیر شرایط نورد کنترل شده بر مقاومت به خستگی فولاد STE 500

سعید زینلی
دانشجوی کارشناسی ارشد

علیرضا فلاحتی
استادیار

دانشکده مهندسی مکانیک، دانشگاه صنعتی امیرکبیر

چکیده

در این پژوهش تأثیر توکیب شیمیایی (درصد کربن و جمیع عناصر میکروآلیاژی ($Ti + V + Nb$)), انواع افزودنی هنگام ریختگری (میش متال و سپلیکات گالسیم)، نحوه خنک شدن پس از نورد (هوافن)، دمای پایانی نورد (850°C و 940°C) درجه سانتیگراد) و عملیات بازگشت بر رفتار خستگی ورقهایی از فولاد میکروآلیاژی STE 500 مطالعه می شود. نتیجه برسی ها نشان می دهد که ورقهای با دمای پایانی نورد 850°C رفتار خستگی بهتری از خود نشان می دهند. بهبود چهره ای ورقهای پس از عملیات بازگشت بهبود چشمگیر رفتار خستگی در چرخه های زیاد و همچنین بهبود نسبت حد تحمل را نتیجه می دهد. با کاهش درصد کربن و جمیع عناصر میکروآلیاژی، فولاد رفتار خستگی مواد نرم را از خود نشان می دهد.

The Effects of Controlled Rolling on the Fatigue Behaviour of STE 500 Steel

A. Fallahi
Assistant Professor

S. Zainali
M.Sc.

Mech. Eng. Dept., Amirkabir Univ. of Tech.

Abstract

The purpose of this work is to study the effects of composition and the microalloy elements (Ti , V , Nb), cooling rate, finish rolling temperature and tempering on the fatigue behaviour of STE 500 microalloy Steel.

The results of the investigation exhibit the plates with finish rolling temperature of 850°C have shown better fatigue response. Tempering leads to improve toughness and fatigue resistance at high cycle, as well as endurance limit. The decrease in carbon and microalloy content change fatigue behaviour of steel from tough to ductile material.

مقدمه

ناحیه تنش حد تحمل بیشترین بوده و با افزایش تنش کاهش می‌یابد [۵]. از طرف دیگر ΔK_{TH} با درشت شدن دانه‌ها افزایش یافته و بنابراین مقاومت در برابر رشد ترک بهبود می‌یابد. تأثیر اندازه دانه بر رفتار خستگی قابل بررسی می‌باشد.

مواد و روش پژوهش

۱- مواد

مواد اولیه این تحقیق ورق‌هایی از جنس فولاد میکروآلیاژی STE 500 می‌باشند که در ضخامت ۲۲ و ۳۰ میلیمتر تحت شرایط مختلف، ریختگری و نورد شده‌اند. ورق‌ها در دو نوع ترکیب شیمیایی می‌باشند. با اختلاف در درصد کربن و جمع عناصر میکروآلیاژی (Ti+V+Nb) از هم متمایز می‌شوند. هر یک از ورق‌ها افزودنی سیلیکات کلسیم و یا میش متال را دارند که جهت کاهش ناخالصی‌های فلزی و توزیع یکنواخت و مناسب آنها و درنتیجه بهبود خواص مکانیکی، هنگام ریختگری به ورق‌ها اضافه می‌شود.

نحوه خنک شدن پس از عملیات نورد (هوا و فن)، دمای پایانی نورد (۸۵۰ و ۹۴۰ درجه سانتیگراد) از دیگر مشخصات فرآیند تولید ورق‌ها می‌باشند. جهت بررسی تأثیر عملیات بازگشت بر رفتار خستگی، عملیات بازگشت روی چهار سری از ورق‌ها انجام شده است. ترکیب شیمیایی، خواص مکانیکی و مشخصات ورق‌ها مورد استفاده در جدول‌های (۱) تا (۴) ذکر شده است.

۲- عملیات بازگشت

نتایج میکروساختی و تصاویر متالوگرافی ورق‌ها نشان می‌دهند بالا بودن سختی پذیری فولاد سبب پیدایش فاز سومی به سختی ۴۶۰ و یکرز در ساختار فریت - پرلیت این فولاد شده است [۷]. افزایش سرعت خنک‌کاری باعث افزایش مقدار این فاز می‌گردد. بنابراین افزایش سرعت خنک‌کاری به وسیله فن سبب کاهش ازدیاد طول نسبی و انرژی ضربه ورق‌ها خواهد شد. جهت بهبود این خواص و بررسی تأثیر آن بر رفتار خستگی، عملیات بازگشت روی ورق‌های ۷۱۱، ۸۱۲، ۸۲۱ و ۸۲۲ به مدت ۹۰ دقیقه در کوره با دمای ۳۰۰ درجه سانتیگراد انجام شده است.

فولادها هنوز از مهمترین مواد برای کاربردهای تکنیکی هستند. با آلیاژ نمودن و عملیات حرارتی، خواص آنها طیف وسیعی از کاربردها را می‌پوشاند. از این نظر تأثیر کنترل ساختار بر استحکام و رفتار خستگی اهمیت ویژه‌ای دارد [۱]. فولادهای میکروآلیاژی فولادهایی با کربن پایین (بیشتر ۰/۵٪ تا ۰/۰٪ درصد) هستند که برای افزایش استحکام (به دلیل پایین بودن کربن) به آنها مقادیر ناچیزی (۰/۱٪ تا ۰/۰٪ درصد) عناصر میکروآلیاژی نظیر نیوبیوم، تیتانیم و وانادیم که کاربید و نیترید قوی ایجاد می‌کنند اضافه می‌شود. رسوب کاربیدها، نتیریدها و کربونیتریدهای عناصر میکروآلیاژی سبب افزایش استحکام ساختار فریت - پرلیت تا سطح مارنتزیت تمپر شده می‌شود. افزایش استحکام در این فولادها از طریق ریز شدن دانه‌ها و ایجاد مکانیزم استحکام دهنده رسوبی می‌باشد. نورد کنترل شده یکی از تکنیک‌هایی است که می‌توان به وسیله آن به طور همزمان استحکام و چفرمگی را بهبود بخشدید. این بهبود از طریق ریزکردن دانه‌های فریت و استحکام دهنده رسوبی به دست می‌آید. ذرات رسوب مانع از رشد دانه‌های استنتیت قبل از استحاله می‌شوند. بنابراین مکان‌های جوانه‌زنی فریت افزایش می‌یابد. در طول استحاله استنتیت به فریت ذرات رسوب بسیار ریز کاربید و نیترید (قطر حدود ۵nm) در مرز فریت تشکیل شده که علاوه بر افزایش مکان‌های جوانه‌زنی فریت مانع از رشد دانه‌های فریت می‌شود. ساختار تحول یافته ترکیبی از دانه‌های ریز و رسوب‌های بسیار ریزی که در ساختار پراکنده شده‌اند می‌باشد [۲، ۳].

از سال ۱۸۵۸ که آزمایش خستگی توسط وهل آغاز شد، منحنی S-N همچنان ستون فقرات داده‌های خستگی است [۴]، این منحنی بیانگر مقاومت مواد در برابر بار تکراری می‌باشد. از مشخصات مهم آن تنش حد تحمل می‌باشد که طبق تعریف تنشی است که مواد تحت بار متناوب عمر نامحدود پیدا می‌کنند [۵]. منحنی S-N متأثر از پارامترهای مختلفی است. در چرخه پایین استحکام و چفرمگی تعیین کننده مقاومت به خستگی فولاد می‌باشند، و در چرخه زیاد تنش تسلیم و چفرمگی کنترل کننده تنش حد تحمل می‌باشند [۶]. مواد دانه ریز مقاومت به خستگی بیشتری از مواد با اندازه دانه درشت تر از خود نشان می‌دهند. تأثیر اندازه دانه در

۴- روش آزمایش

تمام عمرهای خستگی برتر شمرد. در ناحیه تنفس بالا یا عمر خستگی پایین ورق ۸۱۲ با انرژی ضربه بیشتر رفتار خستگی برتری داشته و در ناحیه چرخه بالا ورق ۸۱۱ به دلیل استحکام و افزایش طول نسبی بهتر، مقاومت بهتری از خود نشان می‌دهد (این دو ورق دمای پایانی نورد ۸۵ درجه سانتیگراد و افزودنی سیلیکات کلسیم را دارند. ورق ۸۱۱ در هوا و ورق ۸۱۲ به وسیله فن خنک شده است).

نسبت تنفس حد تحمل به استحکام نهایی که برای فولاد با استحکام کمتر از ۱۴۰۰ مگاپاسکال تا ۶۰ درصد می‌باشد [۹]، در اینجا برای اغلب فولادها در حدود ۵۰٪ می‌باشد. بالاترین نسبت ۵۷ درصد مربوط به ورق‌های بازگشت داده شده می‌باشد و کمترین آن ۴۴٪ مربوط به ورق با دمای پایانی نورد ۹۴ می‌باشد.

مقایسه رفتار خستگی ورق‌های با دمای پایانی نورد ۸۵ و ۹۴ درجه سانتیگراد با افزودنی سیلیکات کلسیم شکل (۲)، نشان می‌دهد که ورق‌های با دمای پایانی نورد ۹۴٪ علی‌رغم داشتن استحکام بالاتر به دلیل چگرمگی پایین رفتار کاملاً ضعیف‌تری از خود نشان می‌دهند. رفتار برتر ورق‌های با دمای پایانی نورد ۸۵٪ را می‌توان ناشی از ریز شدن دانه‌های فریت دانست. تصاویر متالوگرافی، شکل (۳) و (۵) نشان دهنده ساختار ریزتر ورق‌های با دمای پایانی نورد ۸۵٪ می‌باشد. ریز شدن دانه‌های فریت با کاهش دمای پایانی نورد را می‌توان چنین توجیه نمود:

هرچه دمای پایانی نورد پایین‌تر از دمای تبلور مجدد استنتیت انتخاب شود (قبل از وارد شدن به منطقه دو فازی $\alpha + \gamma$) استنتیت تغییر فرم یافته با انرژی ذخیره شده بیشتری به دست می‌آید که افزایش محل‌های جوانه زنی فریت را به دنبال دارد. تغییر فرم استنتیت تأثیر نسبتاً کمی بر سرعت رشد فریت دارد. بنابراین یک افزایش در سرعت جوانه زنی به سرعت رشد در فریت ایجاد می‌شود که ریز شدن دانه‌های فریت را سبب می‌شود. [۷]

از مقایسه ورق‌های با افزودنی میش متال و سیلیکات کلسیم با دمای پایانی نورد ۸۵٪ چنین استنباط می‌شود که افزودنی سیلیکات کلسیم تأثیر بهتری بر مقاومت خستگی ورق‌ها گذاشته است. ورق با افزودنی میش- متال خنک شده به وسیله فن رفتار نزدیک و

دستگاه آزمایش خستگی خمشی دورانی مورد استفاده، روی نمونه به صورت تیریک سرگیردار نیرو اعمال نموده و با سرعت RPm ۳۰۰۰ دوران می‌نماید. نمونه‌ها طبق استاندار ISO 1143 مашینکاری و آماده شده‌اند شکل (۱). ۱۲ سری نمونه از ۸ ورق (چهار آماده شده و تحت آزمایش قرار گرفت. شروع بارگذاری برای هر سری نمونه از تنفس بالا شروع شده و تا زمانی که نمونه عمر ۵ میلیون چرخه را طی نماید، بارگذاری می‌یابد. تنفسی که در آن نمونه عمر ۵ میلیون را طی نماید، تنفس حد تحمل در نظر گرفته می‌شود. نتایج حاصل از آزمایش هر سری نمونه که نشان‌دهنده رفتار خستگی فولاد می‌باشد در نمودار S-N رسم می‌گردد. [۶]

نتایج و بحث

(الف) ورق‌ها پس از عملیات نورد

جدول (۵) تنفس حد تحمل هر سری نمونه، نسبت حد تحمل به استحکام نهایی که شاخصی از رفتار خستگی است [۶] و همچنین نسبت حد تحمل به استحکام تسلیم را نشان می‌دهد. منحنی‌های S-N، ۸ ورق آزمایش شده پس از عملیات نورد در شکل (۲) مقایسه شده‌اند. منحنی S-N ورق ۴۰۲ (ذوب سوم) در تمام عمرهای خستگی در زیر منحنی S-N سایر ورق‌ها قرار گرفته و رفتار آن نیز با بقیه متفاوت می‌باشد (شیب بالا در ناحیه چرخه کم). این فولاد رفتار مواد نرم^۱ را داشته در حالی که سایر ورق‌ها رفتار مواد چفرمه را دارند [۸]. کاهش درصد کربن از ۰/۲۲ به ۰/۱۷ درصد و کاهش جمع عنصر میکروآلیاژی (Ti+V+Nb) از ۰/۲۶۵ به ۰/۱۹۸ درصد تغییر محسوسی بر سختی پذیری استنتیت و در نتیجه در خواص مکانیکی این فولاد نسبت به سایر ورق‌ها (ذوب دوم) ایجاد نموده است. این عوامل سبب کاهش سختی پذیری استنتیت و در نتیجه حذف فاز سخت در ساختار فریت - پرلیتی این ورق شده و نتیجه آن کاهش چشمگیر استحکام نهایی نسبت به سایر ورق‌ها و تأثیر شدید بر بهبود تغییر طول نسبی و انرژی ضربه این ورق می‌باشد. بنابراین رفتاری مانند مواد نرم از این ورق دور از انتظار نمی‌باشد [۶].

از شکل (۲) همچنین مشاهده می‌شود که از ورق‌های ذوب سری دوم ورق خاصی را نمی‌توان در

عمرهای خستگی به طور محسوس بالاتر از سایر ورق‌ها قرار می‌گیرد. پس از عملیات بازگشت از دیاد طول نسبی این ورق به طور چشمگیر افزایش یافته و انرژی ضربه نیز افزایش نشان می‌دهد. کاهش در باند تغییرات رفتار و نزدیکی رفتار در تمام عمرهای خستگی در نتیجه افزایش از دیاد طول نسبی و کاهش اختلاف در انرژی ضربه و تغییر طول نسبی تقریباً برابر ورق‌ها می‌باشد.

مقایسه منحنی S-N ورق‌های پس از نورد و سردی بازگشت داده شده شکل (۷) (تا ۱۰)، نشان می‌دهد که رفتار خستگی تمامی ورق‌های بازگشت داده شده در ناحیه چرخه زیاد و تنفس حد تحمل بهبود چشمگیری مشاهده می‌شود. بهبود در ظرف حد تحمل را می‌توان ناشی از بهبود چفرمگی و تنفس حد تسلیم ورق‌ها دانست. در ناحیه چرخه کم ورق‌های بازگشت داده شده رفتار متفاوتی نشان می‌دهند. ورق ۸۲۲ در ناحیه کم چرخه بهبود چشمگیری داشته و در ورق ۸۱۲ در یک نمونه تضعیف رفتار مشاهده می‌شود. پی‌جوبی علت آن به بررسی بیشتری نیاز دارد. در ورق‌های ۷۱۱ و ۸۲۱ بهبود چشمگیری در رفتار خستگی در ناحیه کم چرخه مشاهده نمی‌شود که بررسی بیشتر در این زمینه می‌تواند راه‌گشا باشد.

مشابهی با ورق با افزودنی سیلیکات کلسیم خنک شده در هوا دارد شکل (۲). بنابر این با افزودنی سیلیکات کلسیم در سرعت خنک‌کاری پایین (هوا) در مقایسه با افزودنی میش مثال می‌توان به مقاومت خستگی بهتری دست یافت.

ب) ورق‌های بازگشت داده شده

خواص مکانیکی ورق‌ها پس از عملیات بازگشت در جدول (۳) و تغییر خواص مکانیکی و بهبود تنفس حد تحمل در جدول (۶) ذکر شده است. مشاهده می‌شود که عملیات بازگشت تأثیر چندانی بر استحکام نهایی نداشته و تأثیر بیشتری بر تنفس تسلیم ضربه و تغییر طول نسبی و چشمگیر آن بر خواص ضربه و تغییر طول نسبی می‌باشد. بیشترین بهبود در انرژی ضربه و تغییر طول نسبی ورق‌های ۸۲۱ و ۸۲۲ مشاهده می‌شود که دمای پایانی نورد آنها ۹۴۰ می‌باشد. بهبود تنفس حد تحمل ورق‌ها بیش از ۵۰ مگاپاسکال می‌باشد که می‌تواند ناشی از بهبود تنفس تسلیم، انرژی ضربه و تغییر طول نسبی باشد.

رفتار خستگی چهار سری فولاد بازگشت داده شده در شکل (۶) با هم مقایسه شده‌اند. مشاهده می‌شود که پس از عملیات بازگشت رفتار فولاد ۸۱۲ در تمام

جدول (۱) ترکیب شیمیایی ذوب دوم (مربوط به ورق‌های جدول (۳)

عنصر	C	Si	Mn	P	S	Al	Cr	Cu	Mo	Ni	Nb	Ti	V	Ti + V + Nb
درصد	۰/۲۲	۰/۵۱	۱/۱۷	۰/۰۰۸	۰/۰۰۸	۰/۰۲۲	/۳۱۵	۰/۱۲۷	/۰۹۴	/۷۴۹	/۰۴۵	/۰۲۸	/۱۸۲	۰/۲۶۵

جدول (۲) ترکیب شیمیایی ذوب سوم (مربوط به ورق (۴۰۴)

عنصر	C	Si	Mn	P	S	Al	Cr	Cu	Mo	Ni	Nb	Ti	V	Ti + V + Nb
درصد	۰/۸۷	۰/۲۶	۱/۱۷	۰/۰۰۹	۰/۰۱	۰/۰۲	۰/۱۲	۰/۰۱	/۰۶۲	/۷۱۹	/۰۴۷	/۰۲۱	۰/۱۳	۰/۱۹۸

N = 81 PPM

جدول (۳) خواص مکانیکی، شرایط نورد و نوع افزودنی ورق های ذوب دوم

شماره ورق	استحکام تسلیم (Mps)	استحکام نهایی (Mps)	استحکام طول نسبی (Mps)	ازدیاد طول ضربه (j) ۲۰°C	انرژی ضربه (j) ۲۰°C	ماده افزودنی	نحوه خنک شدن	دما پایانی نورد e
۷۱۱	۵۷۹	۸۹۵	۱۱/۶۷	۲۸	۲۸	میش متال	هوای	۸۵۰
۷۱۲	۵۹۳	۸۷۹	۱۱/۶	۱۸	۱۸	میش متال	فن	۸۵۰
۸۱۱	۵۵۰	۹۰۹	۱۲/۲۵	۳۰	۳۰	casi	هوای	۸۵۰
۸۱۲	۵۲۲	۸۶۵	۹/۸۲	۳۶	۳۶	casi	فن	۸۵۰
۸۲۱	۴۷۰	۹۵۸	۹/۲۳	۷	۷	casi	هوای	۹۴۰
۸۲۲	۵۱۴	۹۵۷	۵/۴۲	۱۱	۱۱	casi	فن	۹۴۰
۶۰۳	۵۹۰	۸۶۰	۱۵	۳۵	۳۵	میش متال	هوای	۸۶۰
۷۱۱T	۵۹۱	۸۹۷	۱۷/۲۳	۳۰	۳۰	میش متال	هوای	۸۵۰
۸۱۲T	۵۲۲	۹۰۱	۱۷/۵۸	۳۶	۳۶	casi	فن	۸۵۰
۸۲۱T	۵۲۸	۹۴۸	۱۸/۱۷	۱۵	۱۵	casi	هوای	۹۴۰
۸۲۲T	۵۵۸	۹۷۵	۱۶/۴۴	۱۵	۱۵	casi	فن	۹۴۰

* علامت (T) حالت بازگشت ورق را نشان می‌نماید.

جدول (۴) خواص مکانیکی، شرایط نورد و نوع افزودنی ورق ذوب سوم

شماره ورق	استحکام تسلیم (Mps)	استحکام نهایی (Mps)	استحکام طول نسبی (Mps)	ازدیاد طول ضربه (j) ۲۰°C	انرژی ضربه درجه ۲۰°C (j)	ماده افزودنی	نحوه خنک شدن	دما پایانی نورد e
۴۰۲	۵۲۶	۸۲۹	۲۵/۹	۱۶۰	۱۶۰	casi	هوای	۸۶۰

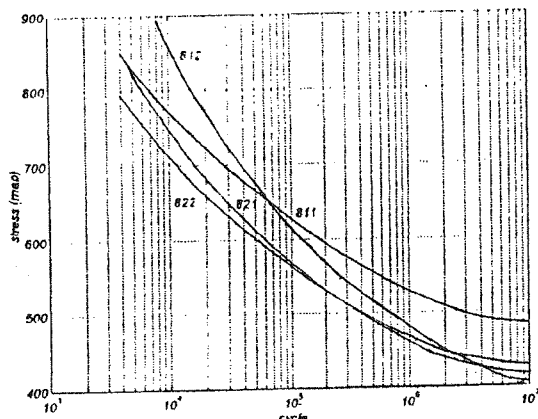
جدول (۵) نتش حد تحمل و $\frac{S_e}{S_y}$ و $\frac{S_e}{S_{ut}}$ ورق مورد بررسی

شماره ورق	۷۱۱	۷۱۲	۸۱۱	۸۱۲	۸۲۱	۸۲۲	۶۰۳	۴۰۲	۷۱۱T	۸۱۲T	۸۲۱T
Se (Mpa)	۴۰۶	۴۶۰	۴۸۸	۴۰۸	۴۱۷	۴۲۰	۴۴۰	۳۴۰	۴۶۰	۵۰۰	۴۸۰
$\frac{Se}{S_{ut}}$	۰/۴۵	۰/۵۲	۰/۵۲	۰/۴۷	۰/۴۵	۰/۴۴	۰/۵۱	۰/۵۲	۰/۵۲	۰/۵۷	۰/۴۹
$\frac{Se}{S_y}$	۰/۷۰	۰/۷۷	۰/۸۸	۰/۷۵	۰/۸۹	۰/۸۲	۰/۷۵	۰/۶۵	۰/۷۸	۰/۹۸	۰/۸۸

جدول (۶) تغییر خواص مکانیکی و بهبود تنش حد تحمل پس از عملیات بازگشت

کد سه رقمی ورق	تنش حد نهایی		تنش تسليیم		تنش حد تحمل		افزایی ضربه	%	%	%	%
	Mpa	%	Mpa	%	Mpa	%					
۷۱۱T	-۱۵	-۱/۶	۱۲	۲	۵۴	۱۳	۲	۷	۶	۴۸/۵	
۸۱۲T	۱۶	۱/۸	-۲۱	-۵/۳	۹۲	۲۲	۲	۶	۷	۶۷	
۸۲۱T	-۲	±۰	۵۹	۱۲	۵۳	۱۱	۸	۱۱۴	۹	۹۵	
۸۲۲T	۱۹	۲	۲۶	۷	۵۷	۱۳	۴	۳۶	۱۱	۲۰۳	

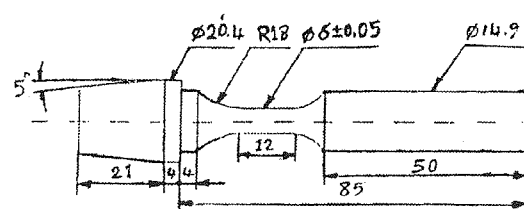
* علامت منفی (-) کاهش خواص را نشان می دهد.



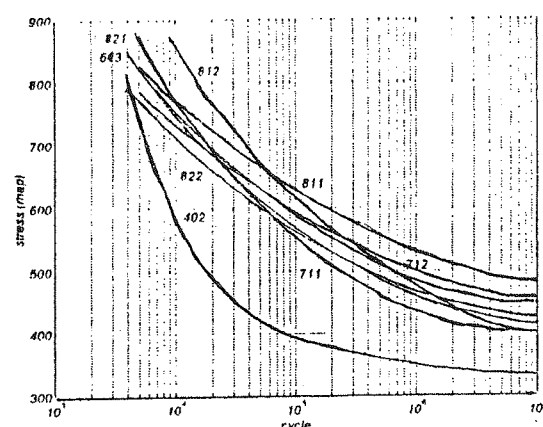
شکل (۳) تأثیر دمای پایانی نورد بر رفتار خستگی ورق های با افزودنی سیلیکات کلسیم با دمای پایانی نورد ۹۴۰ و ۸۵۰ سانتیگراد
خنک شده در هوای بوسیله فن



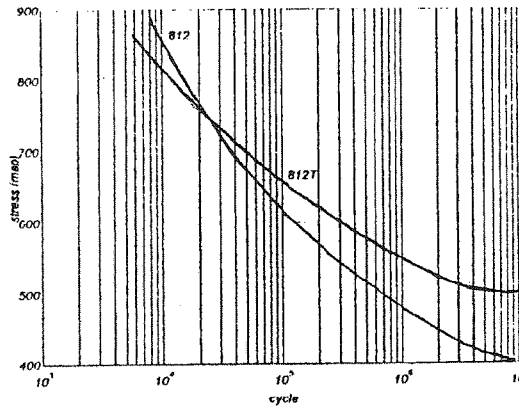
شکل (۳) تصویر متالوگرافی ورق ۱۱۸۱ محلول اج نایتال
× ۲۰۰، بزرگنمایی ۲٪



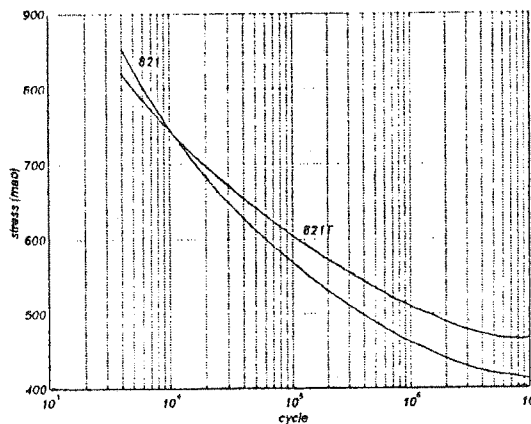
شکل (۱) نمونه آزمایش خستگی خمشی - دورانی مورد استفاده



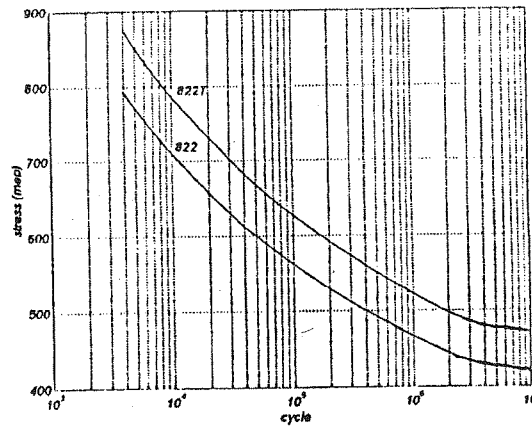
شکل (۲) رفتار خستگی ورق های پس از عملیات نورد



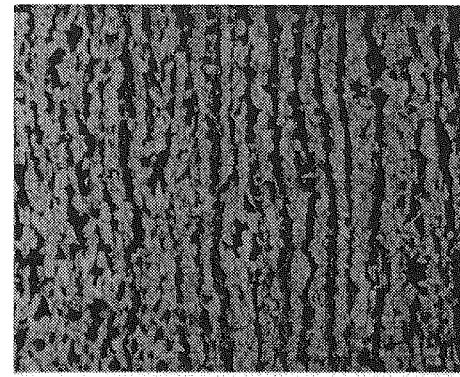
شکل (۸) مقایسه رفتار خستگی سری پس از نورد یا سری بازگشت داده شده
ورق با افزودنی سیلیکات کلسیم با دمای پایانی نورد 85°C
درجه سانتیگراد خنک شده به وسیله فن



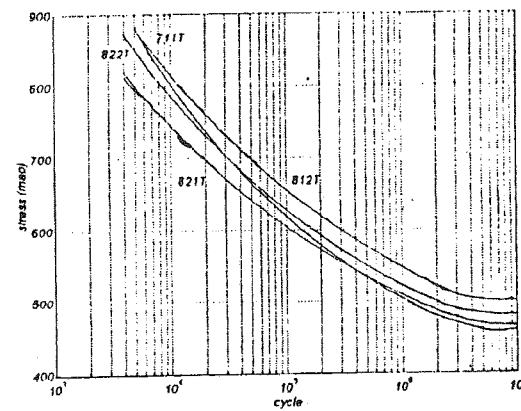
شکل (۹) مقایسه رفتار خستگی سری پس از نورد با سری بازگشت داده شده
ورق با افزودنی سیلیکات کلسیم با دمای پایانی نورد
درجه سانتیگراد خنک شده در هوا 94°C



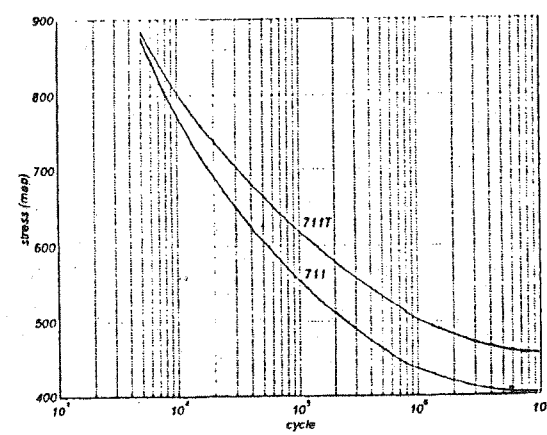
شکل (۱۰) مقایسه رفتار خستگی سری پس از نورد یا سری بازگشت داده
شده ورق با افزودنی سیلیکات کلسیم با دمای پایانی نورد
درجه سانتیگراد خنک شده به وسیله فن 94°C



شکل (۵) تصویر متالوگرافی ورق ۸۲۱ محلول اج تایتان
برگزینهای $\times 20\times 2$



شکل (۶) رفتار خستگی ورق های بازگشت داده شده
(۷۱۲T, ۸۱۲T, ۸۲۱T, ۸۲۲T)



شکل (۷) مقایسه رفتار خستگی سری پیش از نورد یا سری بازگشت
داده شده ورق با افزودنی میش متال خنک شده در هوا

خلاصه و نتیجه‌گیری

رفتار متفاوتی (کاهش و بهبود رفتار خستگی) از خود نشان می‌دهند که بررسی بیشتر را ضروری می‌نماید.

۸- تأثیر افزودنی سیلیکات کلسیم بر رفتار خستگی ورق‌ها بهتر از افزودنی میش متال می‌باشد.

پیشنهادات

- ورق ۸۱۲ علی‌رغم خواص مکانیکی بالا و همچنین رفتار خستگی برتر در چرخه کم نسبت به سایر ورق‌ها، مقاومت به خستگی ضعیفی در چرخه‌های بالا و همچنین تنش حد تحمل پایینی از خود نشان می‌دهد که لازم است کار بیشتری در این مورد انجام گیرد. پس از عملیات بازگشت علی‌رغم افزایش استحکام و تغییر طول نسبی ورق مقاومت به خستگی در چرخه کم کاهش می‌یابد که علت آن قابل بررسی می‌باشد.

- با بهبود مقاومت به ضربه و افزایش تنش تسليم و ازدیاد طول نسبی ورق‌ها پس از عملیات بازگشت انتظار می‌رود که در ناحیه چرخه کم مقاومت به خستگی این ورق‌ها بهبود چشمگیری یابد. در حالی که به استثناء ورق ۸۲۲ در سایر ورق‌ها یا تضعیف رفتار مشاهده می‌شود و یا اینکه بهبود رفتار، قابل توجه نمی‌باشد و در یک نمونه تضعیف رفتار مشاهده شده است که جهت پاسخگویی به این مطلب نیاز به کار بیشتری در ناحیه چرخه کم چرخه می‌باشد.

قدرتانی و تشکر

از حمایت و پشتیبانی مدیریت شرکت فراب آقای مهندس مهمنما در انجام این پژوهش و از زحمات آقای مهندس مجید اسدی در تهیه مواد اولیه و عملیات حرارتی نمونه‌ها تشکر می‌گردد.

رفتار خستگی ورق‌های از فولاد (DIN 1.8907) STE 500 که تحت شرایط مختلف، ریختگری و نورد شده‌اند، در شرایط پس از نورد و پس از عملیات بازگشت مورد بررسی قرار گرفت. آزمایش‌ها طبق استاندارد ISO 1143 (آزمایش خستگی خمشی دورانی) انجام شد. نتایج حاصل از بررسی به طور خلاصه عبارت است از:

- ۱- کاهش کربن و جمع عنصر میکروآلیاژی در فولاد مورد بررسی سبب شده است ورق ۴۰۲ (ذوب سوم) رفتار مواد نرم را از خود نشان دهد. سایر ورق‌ها (ذوب دوم) رفتار مواد چفرمه را دارند.
- ۲- رفتار خستگی ورق‌های بازگشت داده شده در چرخه زیاد و همچنین تنش حد تحمل این ورق‌ها بهبود چشمگیری می‌یابد.
- ۳- ورق ۸۱۱ با دمای پایانی نورد ۸۵۰ درجه سانتیگراد با افزودنی سیلیکات کلسیم خنک شده در هوا با ساختاری شامل دانه‌های ریز فریت (کمتر از ۱۰ میکرون) و فاز ظریف پرلیت و فاز سخت در زمینه فریت بهترین حد ندام خستگی را در میان ورق‌های پس از نورد دارا می‌باشد.
- ۴- ورق‌های با دمای پایانی نورد ۸۵۰ درجه سانتیگراد رفتار خستگی بهتری هم پس از بازگشت از خود نشان می‌دهند.
- ۵- نسبت تنش حد تحمل به استحکام تسليم در ورق‌های ذوب دوم پس از نورد /۷۰ تا ۸۹٪ و در ورق‌های بازگشت داده شده از ۷۸٪ تا ۹۸٪ تغییر می‌کند.
- ۶- در ورق‌های با افزودنی مشابه و دمای پایانی نورد برابر تنش تسليم و ازدیاد طول نسبی کنترل کننده تنش حد تحمل می‌باشند.
- ۷- در ناحیه چرخه کم ورق‌های بازگشت داده شده

مراجع

- [1] D. Elfster and E. Macherauch "Microstructure and Cyclic Fatigue" 12 No. 2 (1990) pp. 165 - 174.
- [2] Yang L. and Fatemi. "Deformation and Fatigue Behaviour of Vanadium -Based Microalloyed Forging steel in the As Forged and Q & T condition "Journal of Testing and Evaluation JTEVA, Vol. 23, No. 2, March 1995. pp. 80-86.
- [3] H. R. Lin and A.A. Hendrikson, "The Prediction of Precipitation Strengthening in Microalloyed Steel" Metall. Trans. A, 1988, Vol. 19A, pp. 1471-1480.
- [4] Angel f. Madayag "Metal Fatigue Theory and Design" John Willey 1969.

- [5] M. Klesnil and P. Lukas "Fatigue of Metallic Materials" Elsevier 1992.
- [6] س. زینلی، تأثیر شرایط نورد کنترل شده بر مقاومت به خستگی فولاد STE 500، پژوهه کارشناسی ارشد، دانشکده مکانیک، دانشگاه صنعتی امیرکبیر، شهریور ۷۶
- [7] م. اسدی، بررسی تأثیر شرایط نورد بر ریز ساختار و خواص فولاد STE 500، پژوهه کارشناسی ارشد، دانشکده معدن و متالورژی، دانشگاه صنعتی امیرکبیر، بهمن ۷۵.
- [8] Richard W. Hertzberg "Deformation and Fracture Mechanics of Engineering Materials" 1989.
- [9] J. E. Shigley "Mechanical Engineering Design" 1988.